

73.226
XJG
2

过电压及其保护

下册

高电压技术教研组编

西安交通大学

1961·11

第五章

§ 5	347
§ 5-1	利用架空地綫时作用于綫路絕緣的大气过电压	351
§ 5-3	架空避雷綫架設的几个問題	359
§ 5-4	利用架空地綫进行綫路防雷时，比开断数的确定，塔杆 接地电阻数值的选择	364
§ 5-5	利用架空地綫进行綫路防雷的运行經驗；計算綫路遮斷 數的新的概念	366
§ 5-6	充分利用木質絕緣來提高綫路的耐雷性	369
§ 5-7	利用АПВ来代替架空地綫的問題	374
§ 5-8	交叉跨越綫路的防雷保护	376
§ 5-9	大跨越綫路的防雷保护	380
§ 5-10	架空避雷綫經火花間隙接地	381
§ 5-11	不同电压等級輸電綫路防雷保护的具体措施	384
参考文献	385

第六章 变电所防雷保护

§ 1-1	概論	237
§ 2-2	发变电所的直击雷保护	387
§ 3-3	避雷器动作时被保护设备上的过电压	391
§ 4-4	变电所进綫保护原理	396
§ 5-5	变电所危險波曲綫与耐雷指标	398
§ 6-6	35—220千伏及以上电压 等級的变电所行波保护	403
§ 7-7	35千伏及以上电压等級变电所內 3—10千伏配电装置的 保护	411
§ 8-8	配电系统的防雷保护	414
参考文献	419

第七章 旋转电机防雷保护

§ 7-1 概論.....	421
§ 7-2 发电机匝間絕緣及中性点.....	424
§ 7-3 发电机的感应过电压保护.....	426
§ 7-4 进线段为架空线时的发电机保护.....	431
§ 7-5 当发电机經一段电缆与架空线.....	434
§ 7-6 低压旋转电机的防雷.....	441
§ 7-7 发电机直机直配线防保护时的若干問題.....	442
参考文献.....	445

第八章 电力系統中的内部过电压及工频电压升高

概論.....	447
---------	-----

第一部分 中点絕緣系統一相接地时的过电压，中点接地方式

§ 8-1-1 中点絕緣系統一相接地时的过电压.....	449
§ 8-1-2 电力系統中点經消弧綫圈接地时的一些問題 +	458
§ 8-1-3 电力系統的中点接地方式.....	461
参考文献.....	470

第二部分 几种操作过电压

§ 8-2-1 开断电容器或空载路时的过电压.....	471
§ 8-2-2 限制切断空载綫过电压的措施.....	497
参考文献.....	519
§ 8-2-3 合闸空载綫路过电压.....	520
参考文献	529
§ 8-2-4 开断电感电流时的过电压的一般概念.....	529
§ 8-2-5 开断变压器与电抗器的激磁电流时的过电压.....	531
§ 8-2-6 开断兩相短路时的过电压.....	542
参考文献.....

第三部分 工频电压升高

§ 8-3-1 序言.....	546
§ 8-3-2 引起工频电压升高的原因.....	
§ 8-3-3 降低工频电压升高的一些措施.....	559
参考文献.....	562

第四部分 电力系統中的諧振过电压，有串联补偿时的过电压

§ 8-4-1 概論.....	563
§ 8-4-2 線性諧振.....	564
§ 8-4-3 非線性（有鐵心）電感的特性.....	575
§ 8-4-4 基頻時的鐵磁諧振.....	585
§ 8-4-5 中點位移過電壓.....	592
§ 8-4-6 分析鐵磁諧振問題的方法，小參數法.....	598
§ 8-4-7 二次諧波諧振.....	602
§ 8-4-8 次諧波諧振.....	609
§ 8-4-9 有串聯補償（УПК）系統中的過電壓.....	619
§ 8-4-10 無全阻尼水輪機系統中不對稱短路過電壓.....	630
參考文獻.....	637

第九章 电力系統的絕緣配合及升压运行

§ 9-1 概論.....	638
---------------	-----

第一部分 輸電線路的絕緣配合

§ 9-2 概論.....	640
§ 9-3 絶緣子鏈的抗電強度.....	642
§ 9-4 運行條件下，內部過電壓作用時絶緣子鏈的抗電強度 MPЭ	647
§ 9-5 絶緣子個數的決定.....	648
§ 9-6 导線至塔體，相間距離的確定	651
§ 9-7 木杆線路絕緣水平的確定.....	660

第二部分 變電所絕緣配合

§ 9-8 概論.....	662
---------------	-----

§ 9-9 PB 动作后，被保护设备上的过电压.....	669
§ 9-10 变电所绝缘特性.....	664
§ 9-11 根据大气过电压来决定变压器的绝缘水平.....	671
§ 9-12 变压器的工频试验电压的决定.....	676
§ 9-13 降低变压器绝缘水平的问题.....	678
§ 9-14 套管，支持绝缘子绝缘水平的决定.....	692
§ 0-15 纯空气间隙绝缘水平的决定.....	694
§ 0-16 变电所各个设备的绝缘水平间的相互关系.....	699

第三部分 现有电力系统的升压运行

§ 0-17 概论.....	799
§ 9-18 升压后系统配电设备的改装问题，电量损失问题.....	704
参考文献.....	707

第五章 輸電線路防雷保護

§ 5-1. 概論

輸電線路防雷的問題在電力系統的防雷中有巨大的意義。因為線路的長度大，受到雷擊的機會多，在電力系統的雷害事故中，線路的雷害事故佔據最大的比例。見下表。

表 5-1 电力系統中 1953-1959 年雷害事故分析統計表(參 3)

年 份	系 統 雷 害 事 故 總 數	發電機		發變電所		20-220 千伏線路				
		次 數	佔該 年事 故總 數的 %	以53年事 故為 100 %，各年 事故的變 化百分數	次 數	佔該 年事 故總 數的 %	以53年事 故為 100 %，各年事 故的變 化百分數	次 數	佔該 年事 故總 數的 %	以53年事 故為 100 %，各年事 故的變 化百分數
53	323	2	0.6	100	123	41	100	189	58.4	100
54	234	2	0.8	100	82	35	62	150	64.2	79
55	221	0	0	0	56	25.3	42.5	165	74.7	87
56	201	4	1.98	200	34	18.5	28	160	79.6	84
57	107	0	0	0	26	24.2	19.6	81	75.8	43
58	85	0	0	0	17	20	12.9	68	80	36
59	95	4	4.2	200	25	26.3	18.9	66	69.5	34.8

由表 5-1 的統計結果可見，在七年来，輸電線路的雷害事故在電力系統的总的雷害事故中所佔百分比的平均數高達 72%。另外，當線路上出現大氣過電壓波時，它將沿導線運動至變電所，在無可靠的保護措施時將危及變電所的絕緣，因此必須特別注意線路的防雷問題。

在長期的實踐中，人們逐步地明確了輸電線路防雷的任務及其基本措施。這些任務與措施是：

(1) 利用架空接地線使導線不受直擊雷；

(2) 避免逆閃絡，當架空地線受到雷擊時，在雷擊點仍有極高的電位，一數百萬伏，這個電位足可以使實際中所遇到的任何絕緣發生閃絡。因此只用架空地線還不能避免雷害事故，還需要採取其他的措施，例如降低塔杆的接地電阻，保證架空地線與導線在擡距中央有一定的距離，利用管型避雷器，或加強線路絕緣等等。

(3) 避免產生穩定的工頻電弧，因為衝擊波所引起的絕緣閃絡並不是在任何情況下均可轉變為工頻電弧引起線路的開斷。故可利用木絕緣來減少工頻電場強度，避免形成工頻電弧減少線路的開斷數。

又因為雷擊往往只發生在一相的導線上，引起二相接地的事故，故可利用消弧線圈避免產生穩定的工頻電弧避免線路開斷。在木杆線路中，因為對地絕緣超過相間絕緣，為了避免橫担劈裂及發揮消弧線圈的作用，我們利用木間隙來避免相間短路等等。

(4) 保證供電的不間斷，短時間地去掉工頻電源有利於電弧的熄滅（即消除接地的故障），又不會對負荷（如電動機）有很大的影響，特別是應用按相重合閘時，對系統的穩定也無很大影響，故可以利用自動重合閘(АПВ, ОАПВ)作為線路的防雷措施之一。

但是這些任務與措施並不是很快就被認識的，例如在1929—1930年前，人們認為雷直擊的于導線的可能性較少，同時這種過電壓也無法限制。當時認為雷雲的電場在發生放電的瞬時就消失了，故而有很高的感應過電壓，因此線路的防雷主要是限制感應過電壓。故而運用了懸掛得距導線較近的架空地線，架空地線的數目較多（有時超過二根）且有時放在導線下面。對架空地線的接地電阻也未給予充份的重視。

在1932—1934年才確定，放電時雷雲的電場不是瞬時消失的。故感應過電壓的數值不會很高，一些額定電壓較高的線路（如110—220kv）的絕緣不應在感應過電壓的作用下發生放電。同時又發現一些正確使用架空地線的線路（懸掛在導線上面，有較小的接地電阻）的開斷數要少得多。

在多年實際工作的基礎上，Fortescue肯定了輸電線路的雷害事故是由於直擊雷引起的，而不是由感應過電壓引起的。這個意見逐漸地得到了一致同意。

在以後，各個國家的研究工作才集中於如何估算輸電線路的耐雷性，防雷措施的參數與特性的研究，雷電參數的研究等方面。

為了估計輸電線路的耐雷性就必須確定雷擊點的電位。目前常用的計

算方法有兩種：

(1) 假定一电压波或电流波沿雷电通道波阻抗运动至雷击点后，发生多次的折反射，故可用波网络的方法計算被击点的电位。

(2) 用集中参数的等值迴路来代替架空地綫、塔杆、接地电阻等等來計算雷击点的电位。

在本章中我們只用第二种方法来計算雷击点的电位。

綫路防雷問題是一個經濟問題，显然我們不希望綫路有过多的事故，引起供电中断、設備损坏，但同时也不希望运用过份的防雷措施，使得投資增加，維护与运行复杂化。因之必須使綫路又經濟又有相当的耐雷性。

我們要求电压等級不同的輸电綫路有不同的耐雷水平与单位遮断率。其意义如下：

(1) 綫路(导綫或架空地綫)受到雷击后不引起絕緣闪络的最大雷电流为綫路的耐雷水平，其单位为仟安。

(2) 单位遮断率。綫路长度較大，雷电活动較强时，因雷害而发生的事故(即停电—其中包括永久性的故障与暂时性的，即利用AIIB可以消除的故障所引起的停电数)次数也就愈多。我国現在进行統計时所用的单位遮断率是指 40 个雷电日，100公里长的綫路因雷害而引起的开关动作数。

我国过电压保护規程(参2第 58 条)規定：当綫路所經地区土壤电阻率 $\rho \leq 10^4 \Omega - \text{cm}$ 时，有架空地綫的綫路耐雷水平不应低于下列数值。

綫路額定电压	ka	110	154	220
--------	----	-----	-----	-----

綫路耐雷水平	ka	120	150	200
--------	----	-----	-----	-----

由上述可見，电压愈高的綫路其耐雷水平就愈高，这是很显然的，电压等級較高的綫路的重要性更大，綫路絕緣較強，如其耐雷水平愈高，雷击时超过耐雷水平引起的开断数也就愈少。

过去对耐雷水平的計算十分注意，但事实上它只能說明綫路本身的結構(有无架空地綫，塔杆型式及高度，絕緣子数目的多少，擋距长短，接地电阻的大小)对綫路耐雷性的影响，此外还可用来决定为达到一定耐雷水平时塔杆必需的接地电阻(見后述)，但事实上接地电阻的选择問題也不能完全根据所要求的耐雷水平来决定。因为在个别高 ρ 地区，如果一定要作很小的接地电阻，經濟上是不适宜的。在低 ρ 地区，则所費不多，也可以得到很小的接地电阻，因此耐雷水平現在只有定性地判断綫路防雷程度的作用。

对线路耐雷性的一个较好的判据是单位遮断数，但不同电压等级，不同结构的线路容许的单位遮断数究竟是多少，还极难肯定，为了便于分析问题，将我国35—220KV线路的运行经验统计资料列于表5—2，(参3,表5)，为了便于比较，我们也列出苏联同一电压等级、杆型的运行资料(参6)。

表 5—2 我国及苏联 35—220 千伏线路防雷保护运行经验
的统计资料(注)

额定电压千伏	线路杆型	换算为40个雷电日 统计的公里一年数		40雷电日100公里 长线路单位遮断率	
		中国	苏联	中国	苏联
220	带有架空地线，金属杆	8548	12633	0.135	0.04
110	有架空地线，水泥杆	1574	8220	0.98	0.648
	无架空地线，木杆木担	1380	24250	9.57	0.74
	无架空地线，木杆铁担	232	-	10.3	-
60	有架空地线，金属水泥杆	7351	-	1.55	-
	无架空地线，木杆木担	1904	-	1.37	-
	无架空地线，木杆铁担 (铁担未接地)	168	-	4.75	-
	无架空地线，金属杆	2433	-	2.28	-
35	无架空地线	3709 /		1.32	
	木杆木担 相距 ≥ 2.5 米	1187		2.8	
	无架空地线，金属，水泥杆	2398	1795	4.22	2.4
	有架空地线，金属杆	3770	2675	2.25	2.2

(注：苏联的运行资料是以每年30个雷电小时为基础进行计算的，为了便于比较，令30个雷电小时等于20个雷电日，之后再换算到40雷电日)。

§ 5-2 有、无架空地线时作用于线路绝缘的大气过电压。

由表5-2可见，有架空地线的较高等级之输电线路（如110kV, 220kV）的耐雷性是比较好的。为了说明此问题，我们首先来分析在有、无架空地线时作用于线路绝缘的过电压。

在无架空地线时，假定全部雷击均作用在导线上，如果令导线波阻抗 $Z = 400\Omega$ 时，那么被击物体的波阻抗将为 $\frac{Z}{2} = 200\Omega$ ，见图 5-1，

根据第三章关于雷电流的基本概念可知，当被击物体阻抗为 $0-50\Omega$ 时雷电流 i_x 将为：

$$i_x = \frac{I_x}{2}(1 - \cos \omega t)$$

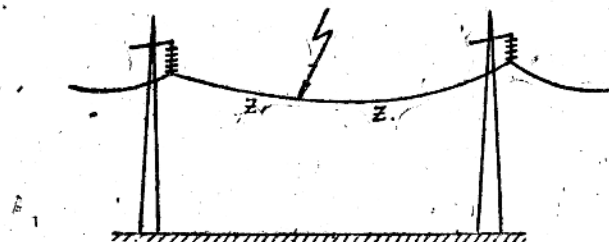


图 5-1

如果被击物体阻抗较大时，（如上述的 $\frac{Z}{2} = 200\Omega$ ），那么雷电流减半，即此时通过被击阻抗的雷电流将为：

$$\frac{1}{2}i_x = \frac{I_x}{4}(1 - \cos \omega t)$$

此时导线上的过电压，亦即线路对地绝缘上的过电压的最大值（即当 $\omega t = \pi$ 时）将为：

$$u_{max} = \frac{I_x}{2} \cdot \frac{Z_{np}}{2} = 100I_x. \quad (5-1)$$

在有架空地线时，雷击将可能发生在塔顶及架空地线的任意一点上，为了便于分析问题，我们假定50%的雷击击于塔顶，另外50%的雷击于档距中央的架空接地线上。在这两种情况下，导线对地绝缘（绝缘子串，在档

距中央导、地綫間的空氣間隙)均承受过电压,由理論分析与运行經驗可知,在后一种情况下,导綫对地(即架空地綫)的絕緣发生閃絡的机会是絕无仅有的,而在雷击有架空地綫的塔頂时,絕緣却有机会閃絡。因此我們在下面先分析这一种情况。

在有架空地綫时,雷击也有可能越过架空地綫而直接击中在导綫上,此时线路对絕緣的过电压可由(5-1)式来进行計算。

雷击于有架空地綫的塔頂,在略去导綫上的工頻电压时,线路絕緣上所受到的过电压有以下几个分量。

(1) 塔杆中的雷电流 i_{on} ,在其接地阻 R (冲击接地电阻)上产生的压降 $i_{on} R$ 。

(2) 塔杆及雷电通道中的雷电流所产生的感应过电压的电磁分量 $u_{индэ}$ 。

(3) 考虑架空地綫的影响后的感应过电压的静电分量 $u_{индэ}$ 。

(4) 架空地綫中有雷电流流过时,在导綫上产生的感应电压。

A. 有架空地綫时导綫上感应过电压的静电分量。

有架空地綫时,导綫上感应过电压的静电分量将減少的物理概念是很清楚的。

(1) 由于它对导綫的屏蔽,減少了在先导放电阶段导綫上的感应电荷。

(2) 它加大了导綫的对地电容。

这两个效应均使 $u_{индэ}$ 下降,这里我們来进行定量的分析:

首先假定架空地綫也是对地絕緣的,再假定主放电发展时架空地綫与导綫的对地电場强度完全一样,那么当导綫上的感应过电压之静电分量为 $u_{индэ}$ 时,“絕緣”的架空地綫上的感应过电压之静电分量則为:

$$u'_{индэ} = \frac{h_{rp}}{h_{up}} \cdot u_{индэ}.$$

事实上架空地綫是接地的,其感应过电压之静电分量应为零,这相当于架空地綫上有一負的感应过电压 $u_{индэ} - \frac{h_{rp}}{h_{up}}$,如果令架空地綫与导綫間的連系系数为 K 时,则在有架空地綫时,导綫上的感应过电压的静电分量将为:

$$u'_{индэ}(t) = u_{индэ}(t) \left(1 - K \frac{h_{rp}}{h_{up}} \right). \quad (5-2)$$

其中 $u_{\text{ind}}(t)$ 由第三章中的公式所决定。

B) 由于 $i_{\text{on}} R$ 与交变电磁场决定的架空地线中的雷电流 i_{tp} 。

显然为了决定空架地线中有雷电流流过时，在导线上产生的感应电压，必须首先来决定这个雷电流即 i_{tp} ，

假定只是与被击塔杆相接的两档架空地线中有雷电流，并且假定被击塔杆左右的两个塔杆的波阻抗与架空地线波阻抗相等，略去这两个塔杆的接地电阻的话，（参看图 5-2）那么决定 i_{tp} 的等值回路将如图 5-3 所示。

在图 5-3 中，我们略去架空地线的对地电容，故而将它用一集中的电感来代替。在图 5-3 中 $i_{\text{a}}(t)$ 为整个雷电通运中的雷电流，其中作用的几个电势为：

(1) 如果架空地线与塔杆分离，那么由于塔杆中的雷电流，雷电通道

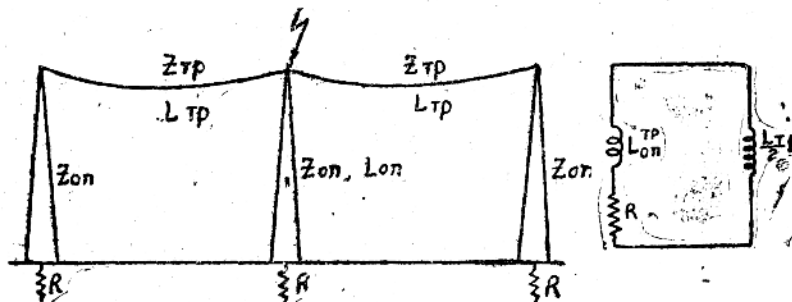


图 5-2

中的雷电流将在塔杆，架空地线间产生一感应电压。但事实上塔杆与架空地线是连接的，其间不应有电位差，故而在架空地线中将有一电流，这个电流与假想的感应电压 u_{ind} 相平衡。当雷电流为斜角波即 $i_{\text{a}} = at$ 时。

$$u_{\text{ind}} = aL_{\text{on}}^{\text{TP}} + aM^{\text{TP}}(t) \quad (5-3)$$

(5-3) 中：

$$L_{\text{on}}^{\text{TP}} = 0.2h_{\text{tp}} \left[\ln \frac{2H}{r_0} + \frac{4h}{2h_{\text{tp}}} \ln \frac{H}{4h} - 1 \right] \quad (5-3a)$$

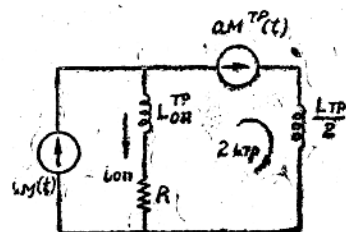


图 5-3

$$M^{rp}(t) = 0.2h_{rp} \left[\ln \frac{vt + H}{(1+\beta)H} - \frac{\Delta h}{2h_{rp}} \ln \frac{H}{\Delta h} + 1 \right] \quad (5-36)$$

其中 $H = h_{rp} + h_{on} = 2h_{on}$, $\Delta h = h_{on} - h_{rp} = 0$.

除了这个电势之外，还有 $i_{on}R$ ，考虑到这几个电势，则不难得出图 5-3 所示的等值迴路。

根据图 5-3 来决定 i_{rp} 将遇到一些困难，因为 Z_{rp} 在考虑冲击电量等对波阻抗的影响时；其本身也是 i_{rp} 的函数，但这个影响是不太大的，可以预先假定一 Z_{rp} 的数值，例如对一根架空地綫來說，可假定 $Z_{rp} \approx 400$ 欧，在有些情况下，可能用兩根架空地綫，此时需考慮其間之互波阻抗的影响，此时 $Z_{rp} \approx 250$ 欧。

如果已知 Z_{rp} ，那么

$$L_{rp} = l \frac{Z_{rp}}{v}$$

其中 l 为档距。

通常，在兩根架空地綫時， $L_{rp} = 0.42l(M)\mu H$. } (5-4)

一根架空地綫時， $L_{rp} = 0.67l(M)\mu H$. }

在不同的主放电速度时 $M^{rp}(t)$ 如图 5-4 所示。

由图 5-3 不难写出当电流为斜角波时的方程式：

$$R2i_{rp} + 2\left(\frac{L_{rp}}{2} + L_{on}^{rp}\right) \frac{di_{rp}}{dt} = aL_{on}^{rp} + aRt + aM^{rp}(t) \quad (5-5)$$

可以先假定(5-5)式中之右边各项之总和为 1，即单位电压，之后再利用

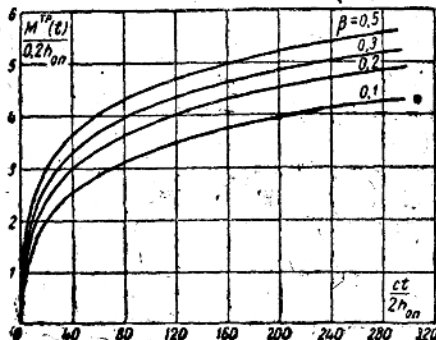


图 5-4

丢莫积分。当单位电压时：

$$Ri_{rp} + \left(\frac{L_{rp}}{2} + L_{on}^{rp} \right) \frac{di_{rp}}{dt} = \frac{1}{2} \quad (5-6)$$

其解为：

$$2i_{rp} = \frac{1}{R} (1 - e^{-\alpha t}), \quad \alpha = -\frac{R}{\frac{L_{rp}}{2} + L_{on}^{rp}}$$

当所加电压为(5-5)式右边各项时，其解是较为复杂的。这里我們只給出最后的結果。

$$2i_{rp}(t) \approx at - \frac{\alpha}{\alpha} \left[1 - \frac{L_{on}^{rp} + M^{rp}(t)}{\frac{L_{rp}}{2} + L_{on}^{rp}} \right] (1 - e^{-\alpha t}) - \frac{0.2a^2 h_{rp}}{R} \alpha t e^{-\alpha t} \quad (5-7)$$

在通常情况下，(5-7)式最后一項是很小的，因此可以略去，此时

$$2i_{rp}(t) \cong at - \left[1 - \frac{L_{on}^{rp} + M^{rp}(t)}{\frac{L_{rp}}{2} + L_{on}^{rp}} \right] \frac{\alpha}{\alpha} (1 - e^{-\alpha t}) \quad (5-8)$$

因为：

$$i_{on} + 2i_{rp} = i_x = at.$$

故而塔杆中的电流 i_{on} 为：

$$i_{on} \approx a \left[1 - \frac{L_{on}^{rp} + M^{rp}(t)}{\frac{L_{rp}}{2} + L_{on}^{rp}} \right] \frac{(1 - e^{-\alpha t})}{\alpha} \quad (5-9)$$

其随时间的变化速度是：

$$\frac{di_{on}}{dt} \approx a \left[1 - \frac{L_{on}^{rp} + M^{rp}(t)}{\frac{L_{rp}}{2} + L_{on}^{rp}} \right] e^{-\alpha t} \quad (5-10)$$

(B) 作用于絕緣的感应过电压的电磁分量。

參看第三章可見，因为只有一部分电流流过塔杆，故而

$$u_{x_{indem}}(t) = L_{on}^{rp} \frac{di_{on}}{dt} + aM^{rp}(t). \quad (5-11)$$

(Г) 由于在架空地綫中有电流流动，在导线上产生的感应电压将为：

$$Ku_{rp}(t).$$

K 为架空地綫与导綫间的耦合系数，而 $u_{rp}(t)$ 显然为(参看图5-3)。

$$u_{rp}(t) = i_{on} R + L_{on}^{rp} \frac{di_{on}}{dt} + aM^{rp}(t)。 \quad (5-12)$$

根据(5-3a), (5-36), (5-9), (5-10)不难求出 $u_{rp}(t)$ 及 $Ku_{rp}(t)$ 。
必須注意 Ku_{rp} 是与其它几个电压反号的。

(1) 作用于綫路絕緣的总的过电压，由(5-11), (5-2), (5-12)可見：

$$\begin{aligned} u_{ra}(t) &= i_{on} R + L_{on}^{rp} \frac{di_{on}}{dt} + aM^{rp}(t) + u_{\text{耐压}}(t) \left(1 - K \frac{h_{rp}}{h_{on}}\right) - Ku_{rp}(t) \\ &= u_{rp}(t)(1 - K) + u_{\text{耐压}}(t) \left(1 - K \frac{h_{rp}}{h_{on}}\right)。 \end{aligned}$$

令 $h_{rp} \approx h_{on}$ ，則

$$u_{ra}(t) = [u_{rp}(t) + u_{\text{耐压}}(t)](1 - K) \quad (5-13)$$

必須注意，(5-13)式只适合于計算雷电流为无穷长斜角波时，作用于綫路絕緣的过电压，但事实上雷电流只是在 $t=0-\tau_\Phi$ 时才增加的，当 $t > \tau_\Phi$ 后，雷电流不可能再增加，在 $t > \tau_\Phi$ 时，可假定再叠加一个电流源

$$i = -a(t - \tau_\Phi)。$$

因此綫路絕緣所受的过电压将为

$$u_{ra}(t) = [u_{rp}(t) + u_{\text{耐压}}(t) - u_{rp}(t - \tau_\Phi) - u_{\text{耐压}}(t - \tau_\Phi)](1 - K) \quad (5-4)$$

(5-14) 式較过电压保护規程【参2】对綫路絕緣所受的过电压的計算要精确得多，例如对感应过电压的静电分量的計算，电磁分量的計算[(5-14)式考慮了 $aM^{rp}(t)$ ，而在規程中就未加考慮]，均較为精确，但存在的缺点是过于繁杂，因此有必要簡述規程中对塔頂电位及綫路絕緣所受过电压的計算方法。

規程中进行計算时所用的等值迴路如图5-5，为了便于与上述計算方法相比較，我們在图5-5的迴路中也給出图5-3中所用的一些相应的符号。

此时作用于綫路絕緣的过电压有3个分量

$$(1) \quad i_{on} R (1 - K)。$$

$$(2) \quad L_1 \frac{di_{on}}{dt} (1 - K)。$$

$$(3) \quad u_{\text{耐压}}(1 - K)。$$

其中第一、第三两个分量之最大值出现的时间几乎与雷电流的最大值出现的时间相同，因为规程中对雷电流的波形采用半余弦波，即

$$i_{\text{u}} = \frac{I_{\text{u}}}{2}(1 - \cos \omega t)。$$

故而第二个分量的最大值出现在波头的中间，即 $t = \frac{\tau_{\Phi}}{2}$ 时有最大值。由于第二个分量的存在，作用于线路绝缘的过电压的最大值出现的时间小于 τ_{Φ} 。这三个分量随时间的变化见图 5-6。

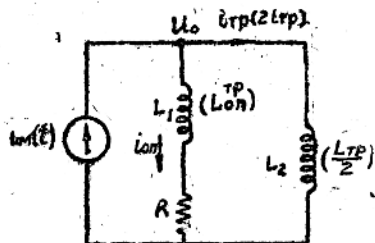


图 5-5

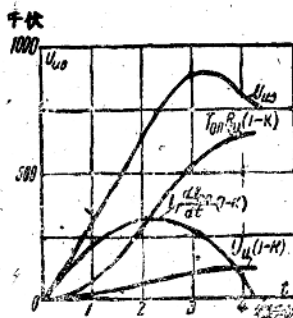


图 5-6

规程中提出，在塔杆高度不大 R 又较小时，第二个分量只占 u_{0u} 的最大值之 20% 左右，考虑到它与第一、第三个分量并不同时出现。因此 u_{0u} 的最大值可近似地按下式来进行计算，即

$$u_{0u} = (I_{\text{out}} R + u_{0uH}) (1 - K) \quad (5-15)$$

(5-15) 中

$$I_{\text{out}} = I_{\text{u}} \frac{1}{1 + \frac{L_1}{L_2} + \frac{\pi R_4}{2\omega L_2}} = I_{\text{u}} \cdot m \quad (5-16)$$

(5-16) 式是用下述的简化办法求得的，显然塔顶电位 u_0 将为：

$$u_0 = I_{\text{u}} \frac{di_{\text{out}}}{dt} + i_{\text{out}} R_i \quad (\text{a})$$

$$i_{\text{u}} = \frac{I_{\text{u}}}{2}(1 - \cos \omega t) = i_{\text{out}} + i_{\text{in}} \quad (\text{b})$$

$$I_{\text{u}} \frac{di_{\text{TP}}}{dt} = u_0 \quad (\text{c})$$

将(6)代入(5)可得：

$$L_2 \frac{di_u}{dt} = (L_1 + L_2) \frac{di_{on}}{dt} + i_{on} R_i$$

将上式积分可得：

$$i_u = \left(1 + \frac{L_1}{L_2} \right) i_{on} + \frac{R_i}{L_2} \int_0^t i_{on} dt \quad (r)$$

因为 R_i 远小于 L_2 所决定的阻抗，故

$$i_u \approx \left(1 + \frac{L_1}{L_2} \right) i_{on} \quad (d)$$

将(d)再代入(r)可得：

$$\begin{aligned} i_u &= \left(1 + \frac{L_1}{L_2} \right) i_{on} + \frac{R_i}{\left(1 + \frac{L_1}{L_2} \right) L_2} \int i_u dt \\ &= \left(1 + \frac{L_1}{L_2} \right) i_{on} + \frac{R_i}{\left(1 + \frac{L_1}{L_2} \right) L_2} - \frac{I_u}{2\omega} (\omega t - \sin \omega t) \end{aligned}$$

考慮到(d)式，則

$$\begin{aligned} i_u &= \left(1 + \frac{L_1}{L_2} \right) i_{on} + \frac{R_i}{L_1 + L_2} - \frac{I_u}{2\omega} (\omega t - \sin \omega t) \\ &= \left(1 + \frac{L_1}{L_2} \right) i_{on} + i_{on} \frac{R_i}{\omega L_2} - \frac{\omega t - \sin \omega t}{1 - \cos \omega t} \end{aligned} \quad (e)$$

我們感兴趣的是 i_{on} 的最大值，令 $\omega t = \pi$ ，那么

$$i_u = \left(1 + \frac{L_1}{L_2} \right) i_{on} + i_{on} - \frac{R_i \pi}{2\omega L_2}.$$

故

$$i_{on} = i_u \frac{1}{1 + \frac{L_1}{L_2} + \frac{\pi R_i}{2\omega L_2}}.$$

而

$$u_{avg} = ah_{ep} \quad (5-17)$$

h_{ep} 导线平均对地高度 米，

a 随雷电流幅值而变的系数 仟伏/米，

a 的数值如表 5-3 所示。